

ЭФФЕКТ ДАЛЬНОДЕЙСТВИЯ В МОНОКРИСТАЛЛАХ GaAs С РАЗЛИЧНОЙ ПЛОТНОСТЬЮ ДИСЛОКАЦИЙ

В. П. Кладько, Т. Г. Крыштаб, А. В. Свительский, Г. Н. Семенова

Институт полупроводников Академии наук Украины,
252650, Киев, Украина

(Получена 24.03.1992. Принята к печати 27.05.1992)

Исследовано влияние механической обработки (шлифовки) нерабочей стороны монокристаллических пластин GaAs, легированного теллуром ($n \sim 2 \cdot 10^{18} \text{ см}^{-3}$), на величину деформаций и спектры фотолюминесценции на рабочей поверхности в зависимости от плотности ростовых дислокаций N_D . Показано, что шлифовка приводит к уменьшению интенсивности краевой полосы излучения I_e для пластин с ячеистой дислокационной структурой и увеличению ее интенсивности для бездислокационного материала. Указанная обработка приводила к противоположному поведению примесно-дефектной полосы с энергией максимума излучения $h\nu_m = 1.24 \pm 1.26 \text{ эВ}$ (80 К), обусловленного излучательными переходами в комплексах собственного дефекта—примесь, т. е. к ее возгоранию для дислокационных образцов при практически неизменном ее состоянии в бездислокационном GaAs. Данное отличие поведения спектров фотолюминесценции авторы связывают с доминирующей ролью исходной дефектной структуры пластин GaAs.

Изучение процессов образования дефектов и их распространения на макро-расстояния от области генерации при локальной ионной имплантации, шлифовке и других воздействиях (эффект дальнодействия) привлекает внимание исследователей [1–3] по крайней мере по двум причинам. Во-первых, использование операций шлифовки, полировки и имплантации ускоренными ионами при изготовлении полупроводниковых приборов может приводить к образованию локальных дефектных центров, а также изменению электрофизических параметров областей, расположенных на макроскопических расстояниях от места воздействия. Во-вторых, сами механизмы стимулирования миграции точечных дефектов на расстояния порядка мм от области их зарождения при $T \sim 300 \text{ К}$ окончательно не установлены, предполагаются альтернативные модели объяснения с участием неравновесных фононов или электронов [1]. В работе [2] отмечалась нестабильность эффекта дальнодействия в процессе хранения образцов при комнатной температуре.

Ранее было показано [4, 5], что при уменьшении толщины подложек многослойных эпитаксиальных субмикронных арсенид-галлиевых структур с использованием различных технологических режимов съема материала происходит существенное преобразование дефектной морфологии пленок, проявляющееся в изменении спектров низкотемпературной фотолюминесценции (ФЛ), развале полос связанных экситонов с $E = 1.515$ (4.2 К) и возгорании более длинноволновых полос с $E = 1.409 \text{ эВ}$ (4.2 К), связанных с рекомбинацией на комплексах дефектов (возможно, дислокационной природы). Это объяснялось дефектообразованием в пленках GaAs, вызываемым воздействием упругих волн, возникающих в зоне действия абразива на фоне перераспределения деформационных полей в процессе уменьшения толщины подложек.

В данной работе изучено влияние механической обработки (шлифовки) нерабочей стороны монокристаллических пластин GaAs на величину деформаций

и дефектообразование на рабочей поверхности образцов в зависимости от их исходной дефектности. При этом предполагалось, что отсутствие эпитаксиального слоя в отличие от работ [4, 5] упростит задачу расчета перераспределения полей в пластинах GaAs при уменьшении их толщины, а отсутствие границы раздела пленка—подложка позволит исключить ее влияние как эффективного стока для точечных дефектов и источника упругих полей, релаксирующих, например, при введении дислокаций несоответствия [6].

1. Методика

Исследовались монокристаллические пластины (100) GaAs толщиной $d_0 \leq 400$ мкм, легированные теллуром. Использовались пластины двух типов с одинаковой концентрацией свободных носителей $n = (1 \div 2) \cdot 10^{18} \text{ см}^{-3}$: стандартные промышленные пластины с явно выраженной ячеистой структурой и $\bar{N}_D \sim 10^5 \text{ см}^{-2}$ (I тип) и специально отобранные практически бездислокационные пластины (II тип) с плотностью ростовых дислокаций $\bar{N}_D \sim 10^2 \text{ см}^{-2}$. Каждая из этих типов пластин подвергалась в дальнейшем следующим обработкам:

- образцы *A* — исходные (двухсторонняя полировка);
- образцы *B* — проводилось утонение пластин с одной стороны до толщины $\sim 100 \div 200$ мкм путем шлифовки на порошке ACM-20 (шлифование свободным абразивом при комнатной температуре);
- образцы *C* — производилась обработка, как у образцов вида *B*, после чего проводилась ультразвуковая обработка (УЗО);¹
- образцы *D* — на исходных образцах производилась только УЗО.

Для исследования использовалась фотолюминесценция, аналогично [4], а также рентгенодифракционные методы, описанные в [5].

Спектры ФЛ измерялись в диапазоне температур 4.2—300 К на автоматизированной установке КСВУ-23 с рабочей стороны. ФЛ возбуждалась излучением аргонового лазера с длиной волны $\lambda = 4880 \text{ \AA}$, диаметр возбуждающего зонда составлял ~ 0.5 мм с плотностью возбуждения до 50 Вт/см^2 . Измерения спектров ФЛ повторяли при хранении образцов при комнатной температуре в течение года.

2. Результаты и обсуждение

Рентгеновские топограммы, по Борману, исходных стандартных высоколегированных пластин GaAs I типа показали развитую ячеистую дислокационную структуру с размерами ячеек 0.2—1.0 мм и средней плотностью дислокаций $N_D \sim 10^5 \text{ см}^{-2}$. Значения глубины нарушенного слоя d_d после шлифовки, определенные по описанной в [5] методике, поставили величину ≈ 23 мкм.

Для оценки влияния перераспределения статических упругих деформаций в приповерхностном слое с рабочей стороны пластин, вызываемого как уменьшением толщины пластины, так и наличием нарушенного слоя, был проведен расчет $\varepsilon_{z=0} = f(d)$, где d — толщина слоя, удаленного при шлифовке с нерабочей стороны. Вычисление зависимости $\varepsilon_{z=0} = f(d)$, приведенной на рис. 1, проводилось с учетом упруго-пластического состояния пластины с использованием двухслойной модели нарушенного слоя [5]. Для расчета плотности дислокаций в каждом из слоев использовались экспериментальные значения изгиба пластин в исходном

¹ Введение ультразвука в образец осуществлялось при помощи керамических пьезопреобразователей типа ЦТС-23 (поперечный пьезоэффект). При комнатной температуре в течение 1 ч возбуждались ультразвуковые колебания, параллельные плоскости (100) с частотой $f = 175 \text{ кГц}$ и амплитудой переменной деформации $a_{us} = 5 \cdot 10^{-5}$.

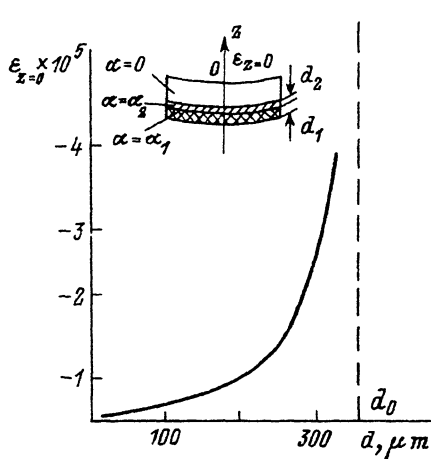


Рис. 1. Расчетная зависимость деформации $\varepsilon_{z=0}$ от толщины удаленного шлифованием слоя d . На вставке — схематическое изображение образца после шлифовки.

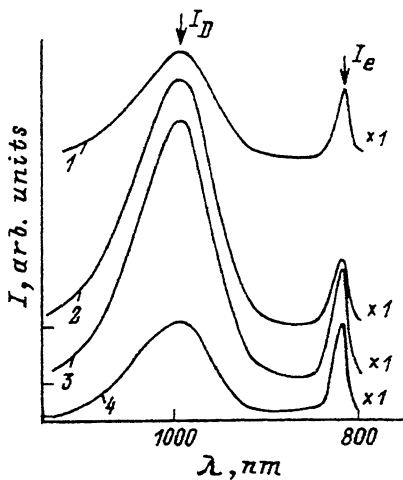


Рис. 2. Спектры ФЛ исходных образцов GaAs(Te) I типа при 80 К (I) и через 5 ч после обработок B, C, D (2—4).

состоянии после шлифовки с нерабочей стороны, а также после химического стравливания нарушенного слоя глубиной $d_1 \approx 5$ мкм и далее после повторного стравливания слоя глубиной $d_2 \approx 4$ мкм (см. вставку к рис. 1).

Плотность дислокаций α^2 предполагалась в каждом слое постоянной и равной $\alpha_1 = 1.21$, $\alpha_2 = 0.40 \text{ см}^{-1}$, а протяженность слоев соответственно $d_1 \approx 5$ и $d_2 \approx 4$ мкм.

Полная деформация $\varepsilon(z)$ при этом описывалась [6]

$$\varepsilon(z) = -\varepsilon_0(z) + \bar{\varepsilon}_0 + R^{-1}(z-z_0),$$

где z — координата, перпендикулярная поверхности образца; R — радиус изгиба образца; ε_0 — собственная деформация; $\bar{\varepsilon}_0$ и z — усредненные значения соответствующих величин.

Из расчетной зависимости $\varepsilon_{z=0} = f(d)$ следует, что при утонении пластины шлифовкой до толщины ≤ 100 мкм происходит увеличение деформации сжатия в приповерхностной области пластины до величины $\sim 5 \cdot 10^{-5}$. В исходном состоянии величина деформации сжатия составляла величину $\varepsilon_{z=0} \sim 10^{-6}$ и была связана с несимметричной обработкой рабочей и нерабочей стороны пластин. Строго говоря, деформации $\leq 10^{-4}$ не должны приводить к дополнительному дефектообразованию, так как не превышается порог пластичности GaAs. На рис. 2 приведены спектры ФЛ для образцов GaAs I типа. В спектрах исходных образцов в интервале температур 4—300 К имеются две основные полосы: широкая полоса с максимумом $I_D \approx 1.24$ (80 К) ($1.24 \div 1.26$ эВ для различных образцов) и полуширина $W \sim 130$ мэВ и полоса I_e ($\hbar\nu = 1.513$ эВ, 80 К). Интенсивность обеих полос линейно зависела от уровня возбуждения, до уровня $\Phi \leq 10^{18} \text{ кВ/см}^2$ с насыщением интенсивности обеих полос и сдвигом положения максимумов не наблюдалось. Следует отметить, что диаметр возбуждающего зонда Ar^+ -лазера превышал размеры дислокационных ячеек, исключая таким

² В расчетах плотность дислокации α нормирована на суммарный вектор Бюргерса в единице площади, она связана со скалярной плотностью дислокаций N_D соотношением [6] $N_D = 2\pi\alpha_{xy}b/b_2$, $\alpha_{xy} = \alpha$, где τ — направление линии дислокаций, b — ее вектор Бюргерса.

образом, микроскопическое влияние границ ячеек (области с более низкой эффективностью люминесценции без изменения спектрального состава).

Природа длинноволновой и краевой полос люминесценции в GaAs многократно обсуждалась и достаточно надежно установлена в [7, 8]. Авторы связывают краевую полосу с излучательными переходами свободных (или связанных на мелких донорах) электронов со свободными дырками, а примесную полосу — с излучательной рекомбинацией электронов через глубокие уровни, в образовании которых участвуют пары: атомы легирующей примеси (возможно, и теллура $[Te_{As}]$, и остаточной примеси $[Si_{As}]$) и собственных дефектов решетки: $Te_{As}V_{Ga}$ и $Si_{As}V_{Ga}V_{As}$.

Непосредственно после шлифовки (образцы B , рис. 2, кривая 2), происходит уменьшение интенсивности краевой полосы I_{ca} ($\leq 20\%$) и возгорание длинноволновой полосы I_{Dc} ($\leq 400\%$). После УЗО шлифованных образцов D происходит незначительное увеличение интенсивности краевой полосы и уменьшение интенсивности длинноволновой полосы по сравнению со шлифованными образцами (B) (рис. 2, кривая 3). Обработка ультразвуком исходных образцов D приводила к увеличению интенсивности краевой полосы I_c ($\leq 30\%$), интенсивность же длинноволновой полосы практически не изменялась (на отдельных образцах происходило ее слабое увеличение, но не более чем на 5%). Интенсивность полосы излучения при неизменном уровне возбуждения зависит от концентрации излучательных центров, их сечения захвата, а также времени жизни неосновных носителей заряда ($I \sim \sigma Nt$). Сохраняя уровень возбуждения во всех экспериментах постоянным и предполагая неизменным сечения захвата на излучающие центры, можно объяснить полученные изменения интенсивности полос изменением концентрации центров свечения и (или) изменением времени жизни неосновных носителей. Можно представить, что на фоне перераспределения упругих статических деформационных полей, связанного с уменьшением толщины пластины и с наличием нарушенного слоя, возникающие при шлифовке упругие волны деформации, достигающие рабочей стороны пластины, способствуют интенсивному образованию собственных точечных дефектов. В свою очередь известно, что в арсениде галлия с $n \geq 10^{18} \text{ см}^{-3}$ собственные точечные дефекты являются основным источником центров безызлучательной рекомбинации. Можно связать уменьшение интенсивности краевой полосы при неизменном уровне возбуждения ($\Phi = 10^{18} \text{ кВ/см}^2 \cdot \text{с}$) с образованием собственных точечных дефектов. Такого типа изменения в спектрах ФЛ после шлифовки нерабочей стороны пластин наблюдали ранее в [2]. Относительно полосы низкотемпературной ФЛ $GaAs\langle Te \rangle$ (1.24—1.3 эВ) известно, что для всех уровней легирования теллуром ее интенсивность определяется концентрацией акцепторных комплексов (V_{Ga} -донор, так называемый SA-центр (self. activated) [9]). Возрастание интегральной интенсивности полосы I_D можно объяснить увеличением концентрации комплексов $[V_{Ga}-Te_{As}]$.

Наблюдаемые изменения носили объемный характер, так как при изменении глубины зондирования (изменялась длина волны возбуждающего света при использовании Не—Не и рубинового лазеров) не происходило существенной трансформации спектров ФЛ. Использованная в работе УЗО с амплитудой переменной деформации $\tilde{a}_{US} \sim 6 \cdot 10^{-5}$ (выделяемая мощность $P \sim 100 \text{ мВт/см}^2$) не приводила к существенному дефектообразованию во всем объеме образцов, а, скорее всего, способствовала стоку собственных точечных дефектов на границы ячеек и очищению областей внутри ячеек, что сопровождалось некоторым увеличением интенсивности I_c . Следовательно, наиболее существенное дефектообразование во всем объеме образцов происходило в зоне действия абразива, а дальнейший процесс миграции, накопления и аннигиляции собственных точечных дефектов происходил при их упругом взаимодействии со статическим полем деформации. При этом межузельные и вакансационные дефекты могли разделяться

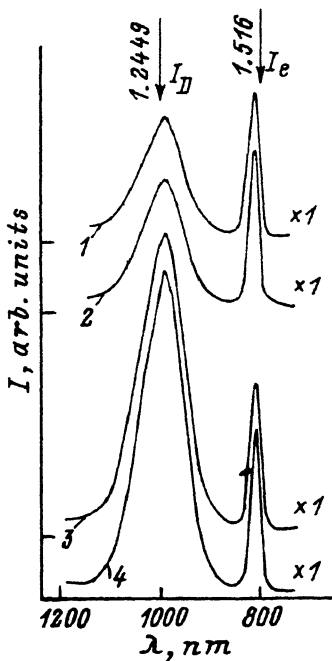


Рис. 3. Спектры ФЛ исходного образца GaAs(Te) при 80 К (1) и через ≥ 250 ч после обработок D, B и C (2—4 соответственно).

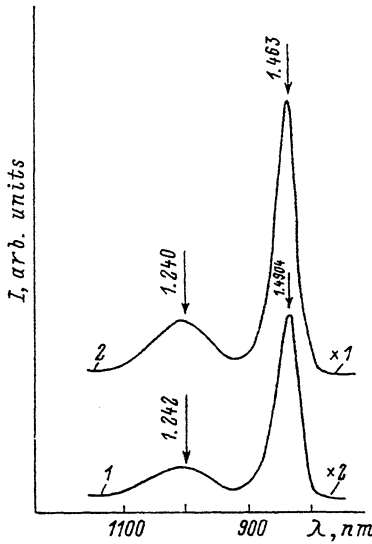


Рис. 4. Спектры ФЛ исходной (1) бездислокационной пластины GaAs(Te) и после шлифовки обратной стороны (2).

полем упругой деформации (ваканции мигрировали в сторону сжатия) и накапливаться в областях с максимальными их значениями.

Такого типа процессы приводили к генерации как центров безызлучательной рекомбинации, так и центров свечения, связанных с образующимися парами (собственный дефект + атом теллура).

При хранении образцов после всех видов обработки происходило изменение интенсивности краевой полосы ФЛ от значений I_∞ ($t = 0$) до I_α (t — время хранения образца). На рис. 3 приведены спектры ФЛ образцов типа A—D после хранения их при комнатной температуре в течение 250 ч. Интенсивность краевой полосы шлифованных образцов увеличивалась практически до исходного значения $I_\alpha \approx I_\infty$, а интенсивность полосы I_D практически не уменьшалась, вплоть до $5 \cdot 10^3$ ч. Из этого следует, что собственные точечные дефекты со временем аннигилируют, что приводит к восстановлению интенсивности I_e в спектрах ФЛ, а дефекты, образующие глубокие уровни, являются более стабильными.

Типичный спектр ФЛ исходных пластин (II типа) бездислокационного n -GaAs(Te) представлены на рис. 4. В спектре наблюдаются полосы с энергиями максимумов при 80 К: $I_e \sim 1.49$ мэВ ($W \sim 80$ мэВ) и $I_D \sim 1.24$ эВ ($W \sim 120$ мэВ). Интенсивность краевой полосы превышала интенсивность аналогичной полосы для пластин n -GaAs I типа, интенсивность же длинноволновой полосы I_D , связанной с рекомбинацией через глубокие уровни, составляла $\sim 15\%$ от I_e . После B—D-обработок происходило увеличение интенсивности краевой полосы I_e , интенсивность полосы I_D увеличивалась незначительно, так что I_D/I_e уменьшалось. Такое поведение полос ФЛ бездислокационного GaAs(Te) при различных обработках можно интерпретировать, если предположить, что в бездислокационном материале n -GaAs(Te) с $n \geq 2 \cdot 10^{18}$ основным типом дефектов являются микродефекты, в состав которых входят электрически нейтральные комплексы теллура D_x , распадающиеся при шлифовке по реакции [10]:

$D_x \rightleftharpoons \chi (D_x + e^-)$ с образованием доноров $D^+ - [Te_{As}^+]$. Увеличение концентрации свободных носителей в бездислокационном материале после шлифовки было установлено по смещению минимума плазменного отражения от величины $\lambda_{min} \approx \approx 25$ (\AA) в коротковолновую область до $\lambda_{min} \approx 21$ мкм (B) ($n \approx 2.3 \cdot 10^{18} \text{ см}^{-3}$). В образцах с ячеистой дислокационной структурой после шлифовки изменение положения минимума плазменного отражения происходит в пределах точности метода ($\sim 10^{17} \text{ см}^{-3}$).

Несущественное увеличение интенсивности полосы I_D связано, возможно, с повышенным порогом образования собственных точечных дефектов в бездислокационном материале.

При хранении образцов II типа интенсивность примесной полосы не изменилась, а интенсивность краевой полосы практически восстанавливалась до исходного значения через 10^3 ч.

Таким образом, основным результатом проведенной работы следует считать установление определяющей роли исходной дефектной структуры пластин GaAs (плотности ростовых дислокаций и состава точечных дефектов) на характер последующего дефектообразования и изменение структурно-чувствительных параметров при проявлении эффекта дальнодействия при неравновесных воздействиях (шлифовка обратной стороны, ионная имплантация и др.).

Исходя из данного вывода следует, что при сравнении результатов по изучению электро-оптических характеристик GaAs и эпитаксиальных структур на его основе необходимо всегда исследовать и в дальнейшем учитывать исходную дефектную структуру объекта.

СПИСОК ЛИТЕРАТУРЫ

- [1] Е. А. Боброва, В. С. Вавилов, Г. Н. Галкин, М. В. Чукичев, П. Бекрис, К. Куркутас, П. Эфимиу, С. Ю. Соколов, Т. А. Куземченко, Д. Л. Хаврошин. Тез. докл. XII Всес. конф. по физике полупроводников 1, 75 (1990).
- [2] И. А. Пенина, Л. Б. Назарова, В. Г. Мелев. Поверхность. № 8, 142 (1988).
- [3] П. В. Павлов, Ю. А. Семин, В. Д. Скупов, Д. И. Тетельбаум. ФТП, 20, 503 (1986).
- [4] В. П. Кладъко, Т. Г. Крыштаб, Ю. С. Клейнфельд, Г. Н. Семенова, Л. С. Хазан. ФТП, 26, (1992).
- [5] В. П. Кладъко, Т. Г. Крыштаб, Г. Н. Семенова, Л. С. Хазан. ФТГ, 33, 3192 (1991).
- [6] Ю. А. Тхорик, Л. С. Хазан. Пластическая деформация и дислокации несоответствия в гетероэпитаксиальных системах, 304. Киев (1983).
- [7] Ж. И. Алфёров, Д. З. Гарбузов, Е. П. Морозов, Д. Н. Третьяков. ФТП, 1, 1702 (1967).
- [8] К. Д. Глинчук, К. Лукат, А. А. Прохорович. Оптоэлектроника и полупроводниковая техника, вып. 1, 39. Киев (1982).
- [9] T. Oh-hori, H. Itoh, H. Janaka, K. Kasai, M. Jakikawa, J. Komono. J. Appl. Phys., 61, 4603 (1979).
- [10] D. T. J. Hurle. J. Phys. Chem. Sol., 627 (1979).

Редактор В. В. Чалдышев